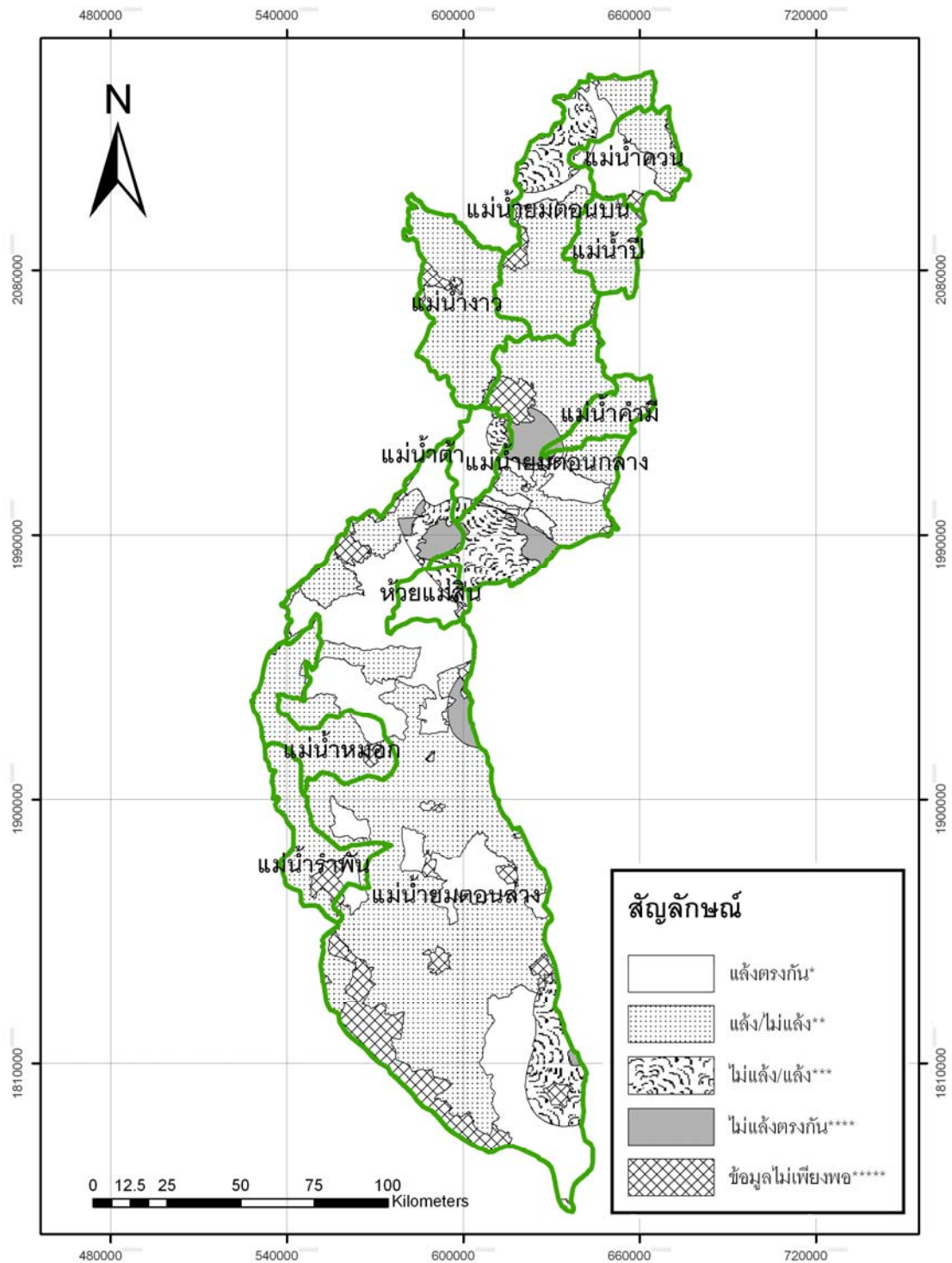
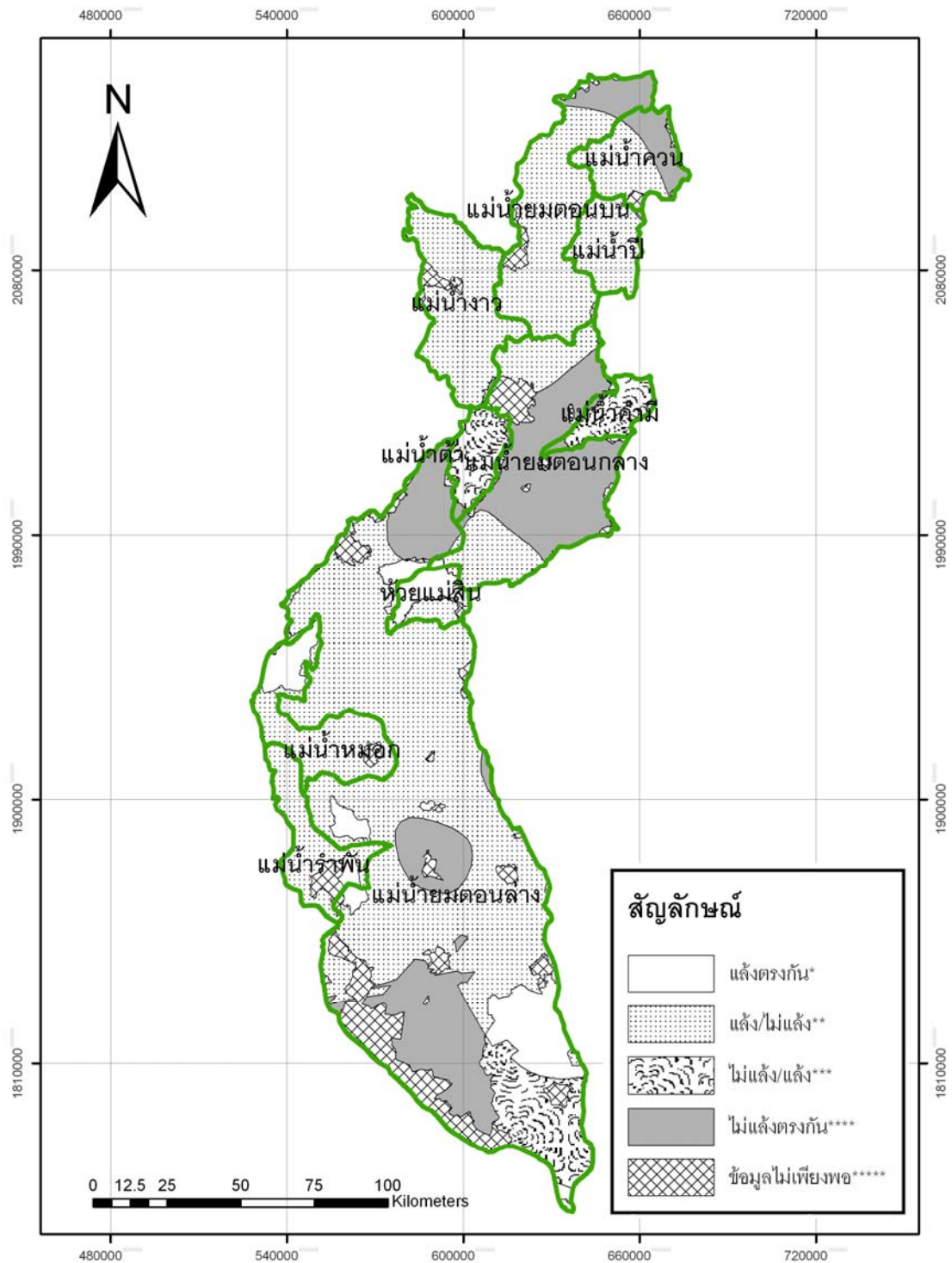


ภาพที่ ๑.40 การคำนวณด้วยวิธี Decile range โดยใช้ปริมาณน้ำฝนรายฤดูกาล (ก.ย.-ธ.ค.)  
ปี พ.ศ.2545 สอดคล้องกับรายงานภัยแล้ง 21.3%



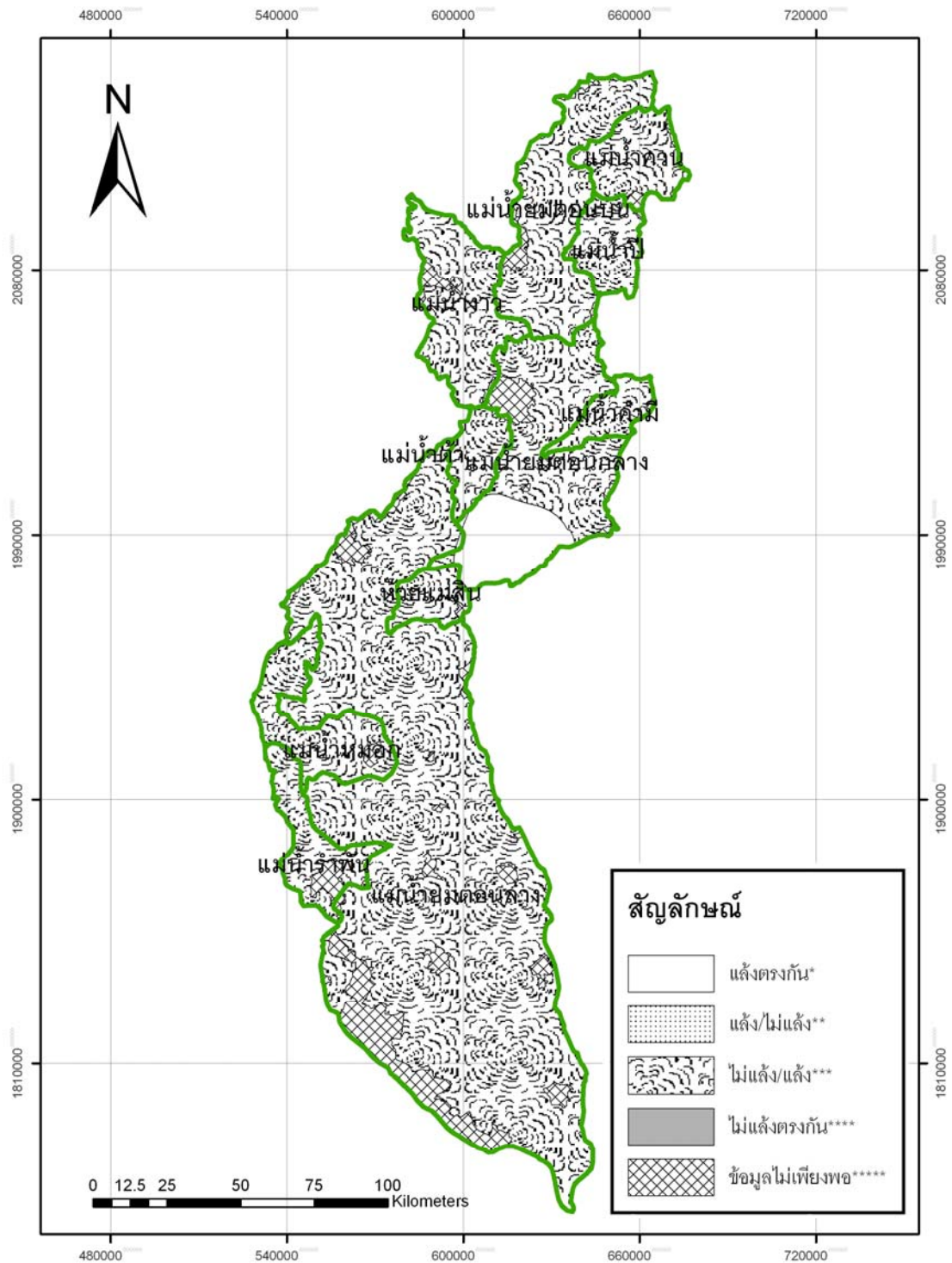
ภาพที่ จ.41 การคำนวณด้วยวิธี Decile range โดยใช้ปริมาณน้ำฝนรายฤดูกาล (ก.ย.-ธ.ค.)  
ปี พ.ศ.2546 สอดคล้องกับรายงานภัยแล้ง 28.5%



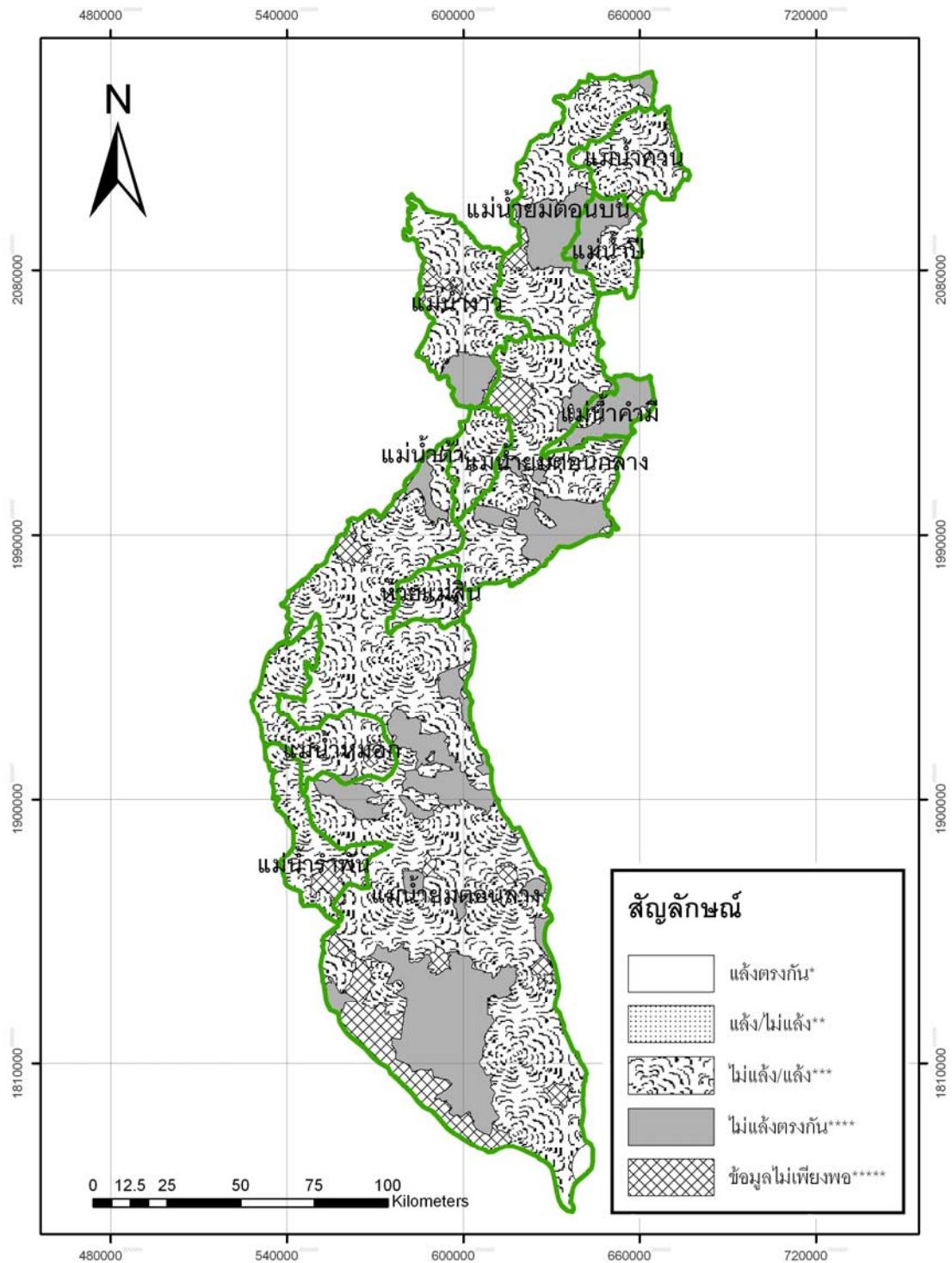


ภาพที่ จ.43 การคำนวณด้วยวิธี Decile range โดยใช้ปริมาณน้ำฝนรายฤดูกาล (ก.ย.-พ.ย.)  
ปี พ.ศ.2540 สอดคล้องกับรายงานภัยแล้ง 28.6%

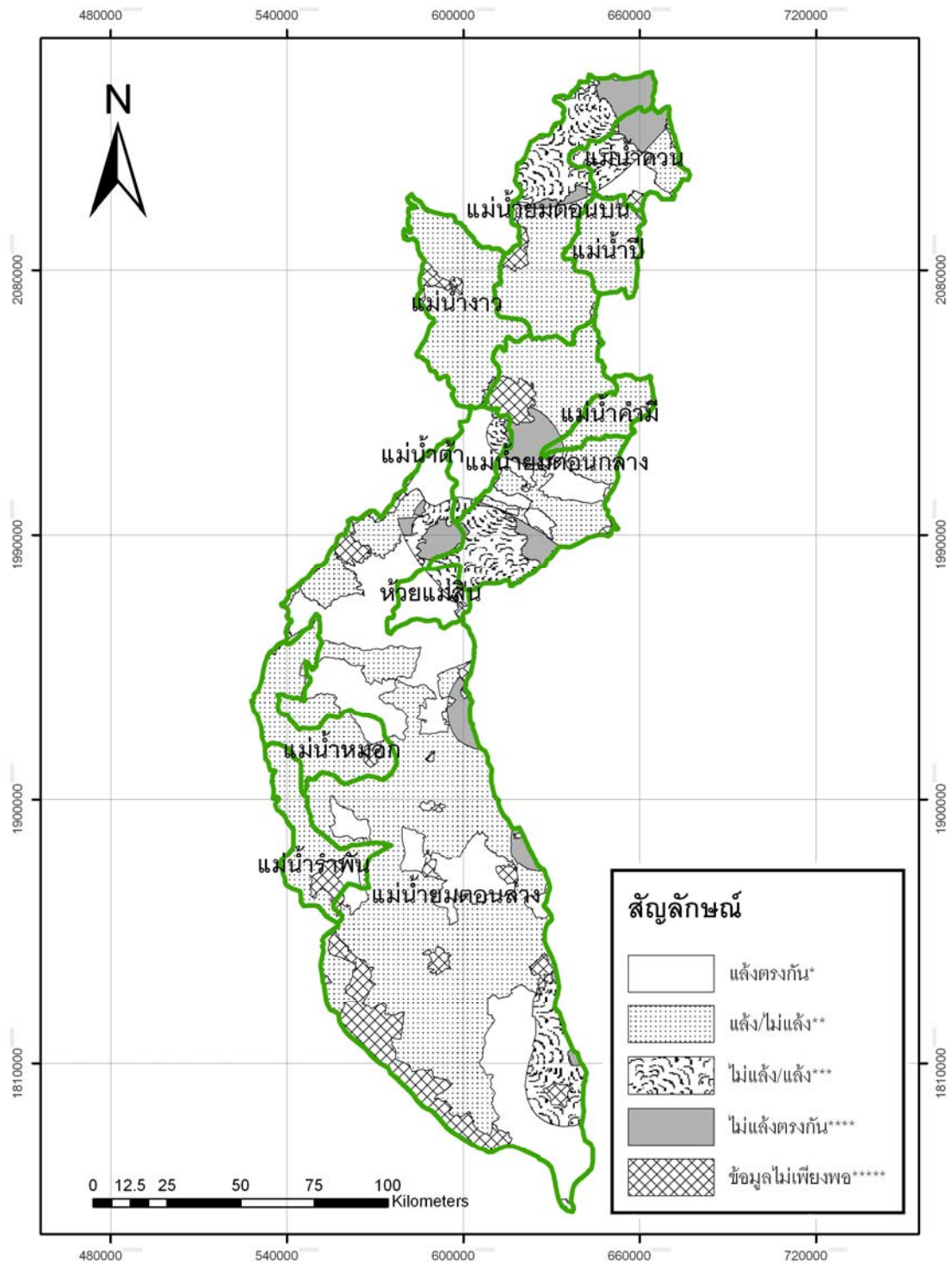




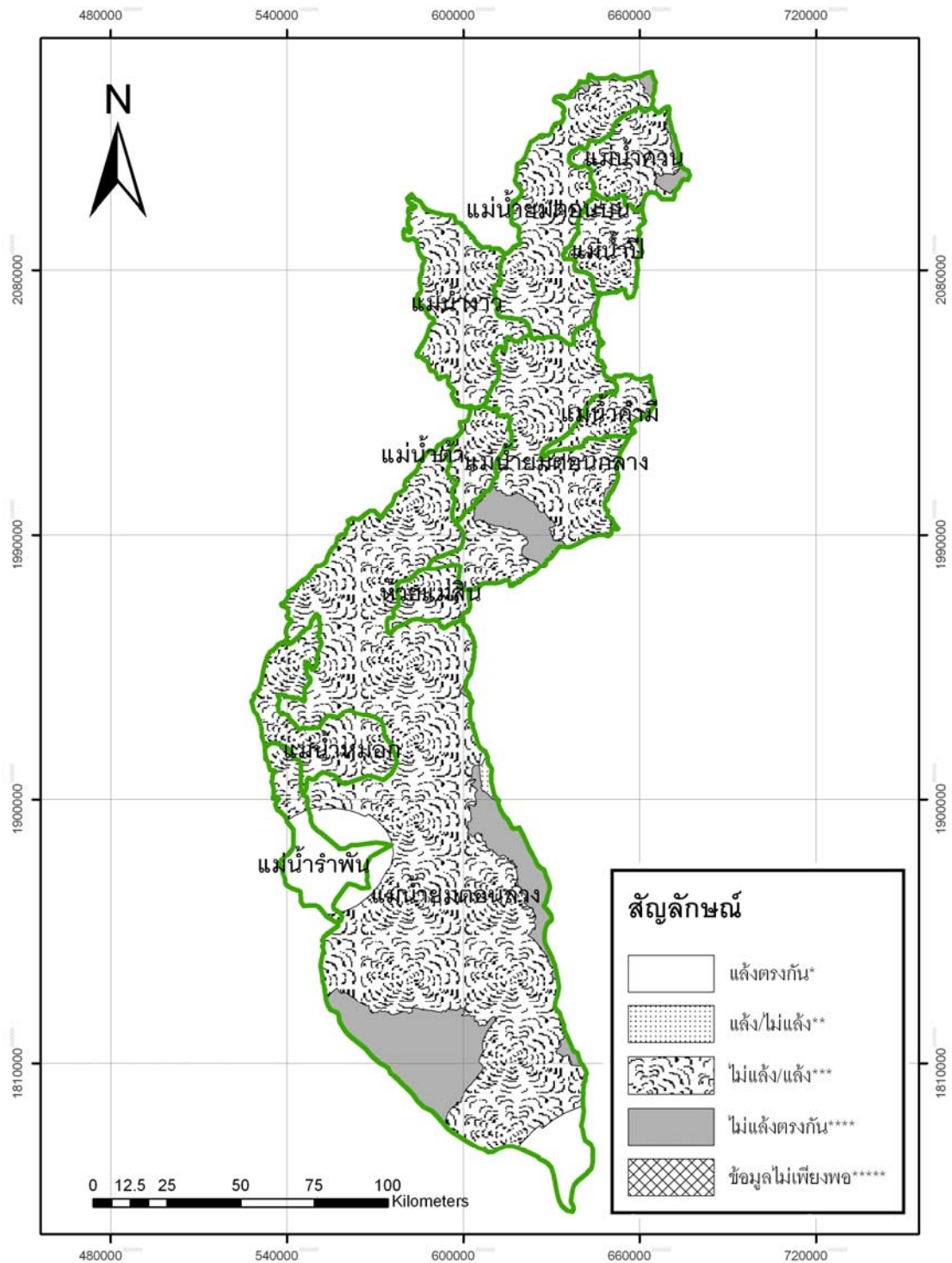
ภาพที่ จ.45 การคำนวณด้วยวิธี Decile range โดยใช้ปริมาณน้ำฝนรายฤดูกาล (ก.ย.-พ.ย.)  
ปี พ.ศ.2542 สอดคล้องกับรายงานภัยแล้ง 3.9%



ภาพที่ จ.46 การคำนวณด้วยวิธี Decile range โดยใช้ปริมาณน้ำฝนรายฤดูกาล (ก.ย.-พ.ย.)  
ปี พ.ศ.2545 สอดคล้องกับรายงานภัยแล้ง 21.3%

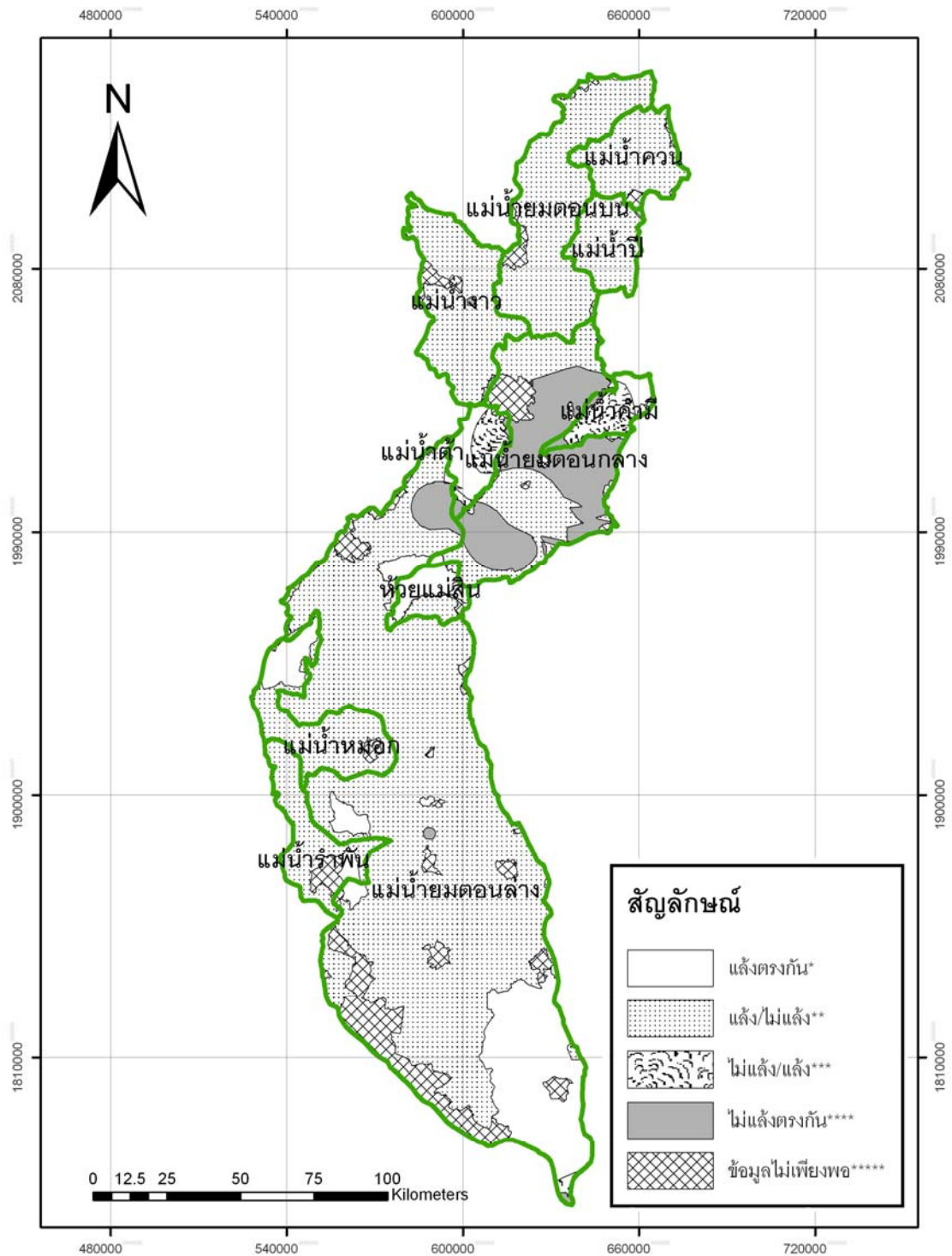


ภาพที่ จ.47 การคำนวณด้วยวิธี Decile range โดยใช้ปริมาณน้ำฝนรายฤดูกาล (ก.ย.-พ.ย.)  
ปี พ.ศ.2546 สอดคล้องกับรายงานภัยแล้ง 28.7%

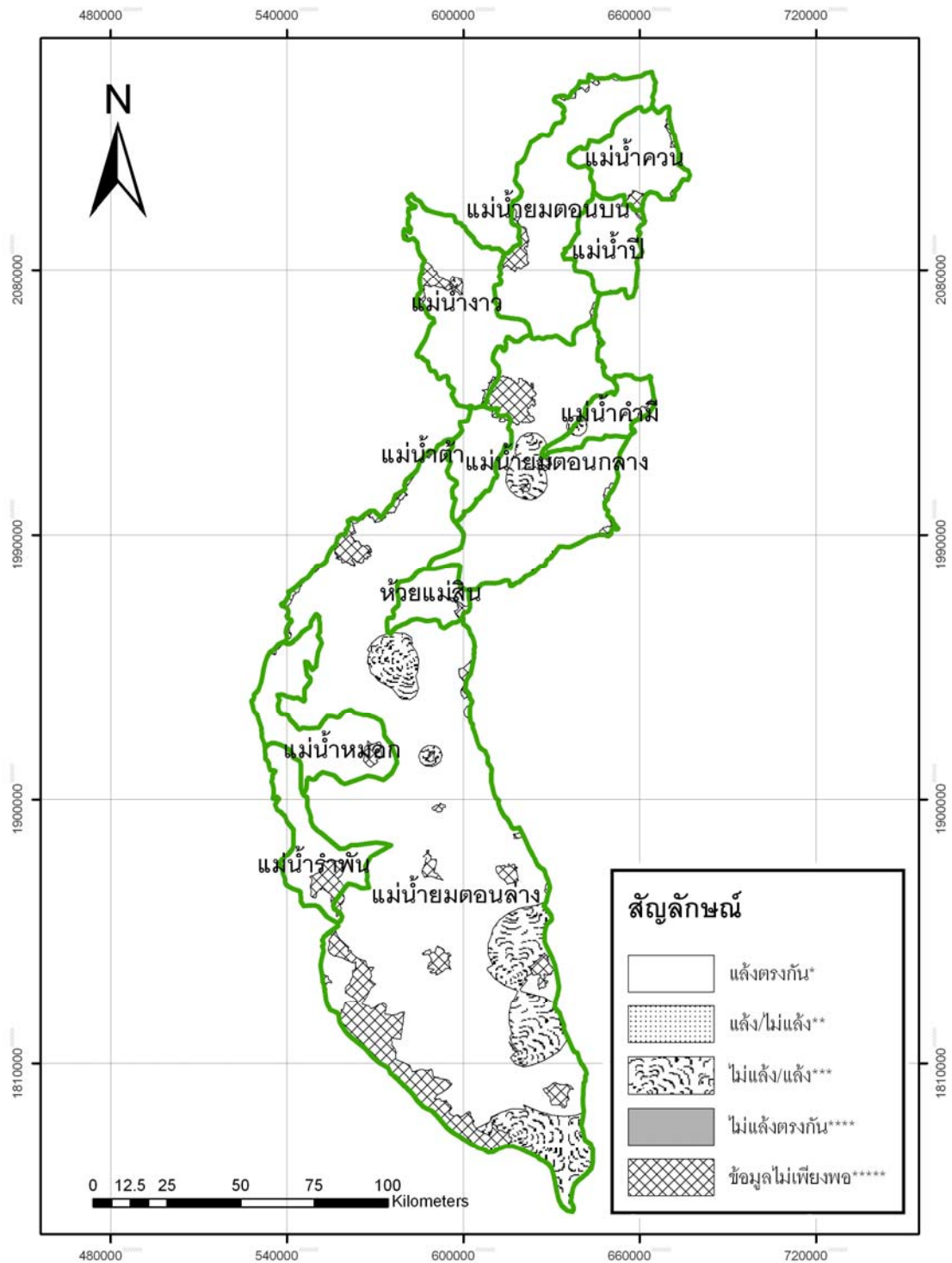


ภาพที่ จ.48 การคำนวณด้วยวิธี Decile range โดยใช้ปริมาณน้ำฝนรายฤดูกาล (ก.ย.-พ.ย.)

ปี พ.ศ.2548 สอดคล้องกับรายงานภัยแล้ง 15.5%



ภาพที่ ๑.49 การคำนวณด้วยวิธี SPI โดยใช้ปริมาณน้ำฝนรายปี  
ปี พ.ศ.2540 สอดคล้องกับรายงานภัยแล้ง 21.2%



ภาพที่ ๑.50 การคำนวณด้วยวิธี SPI โดยใช้ปริมาณน้ำฝนรายปี  
ปี พ.ศ.2541 สอดคล้องกับรายงานภัยแล้ง 91.2%

